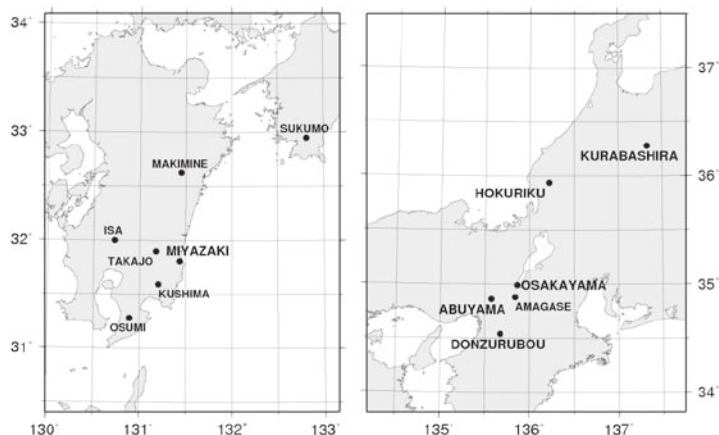


### 8 - 3 地殻活動総合観測線最近1年/近畿の10年の観測結果 Continuous Observation of Crustal Deformations at Observation Networks in Central Kinki and Southeast Kyushu District.

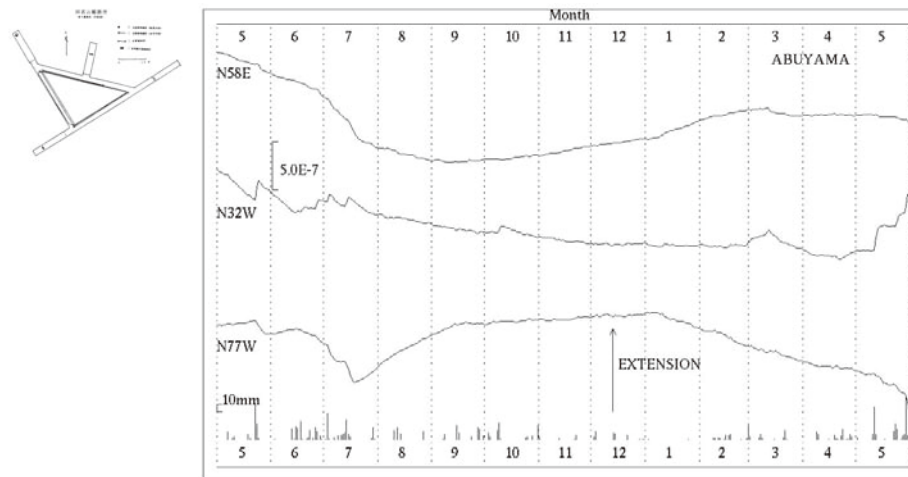
京都大学防災研究所附属地震予知研究センター  
Reserch Center for Earthquake Prediction,  
Disaster Prevention Research Institute, Kyoto University

近畿・北陸地方および日向灘地殻活動総合観測線の主要点の坑道内歪観測結果の最近1年分を示す。長期的な2003年以降のトレンド変化も継続しており、近畿主要点については、1999年以来現在までの記録も併せて示す。3月11日の地震に際しては、近畿・北陸の各観測点で10-7程度の永久歪が記録された。逢坂山観測所の地下水位観測井では、約72センチの水位低下が観測された。日向灘地殻活動総合観測線の伊佐観測室では、2011年1月に発生した霧島山新燃岳の噴火に際して、顕著な歪変動が記録された。

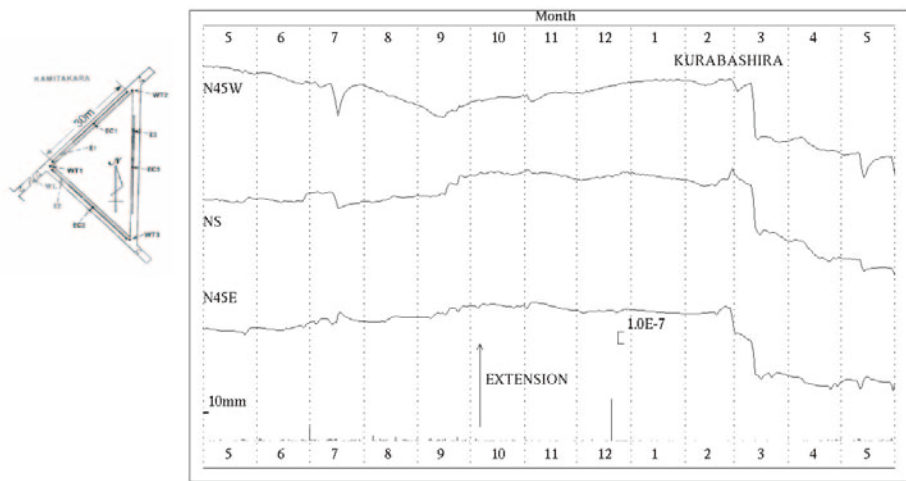
地殻活動総合観測線最近1年/近畿の10年の観測結果  
 京都大学防災研究所附属地震予知研究センター



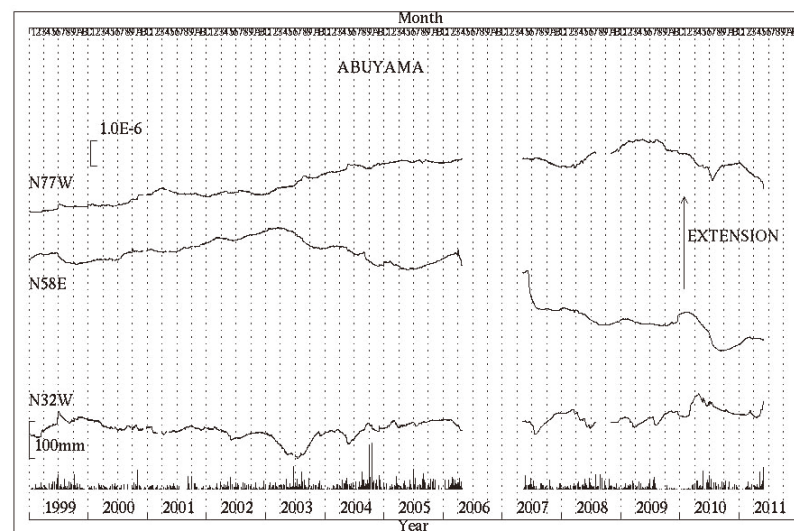
第1図 観測点配置  
 Fig.1 Location map of observatories.



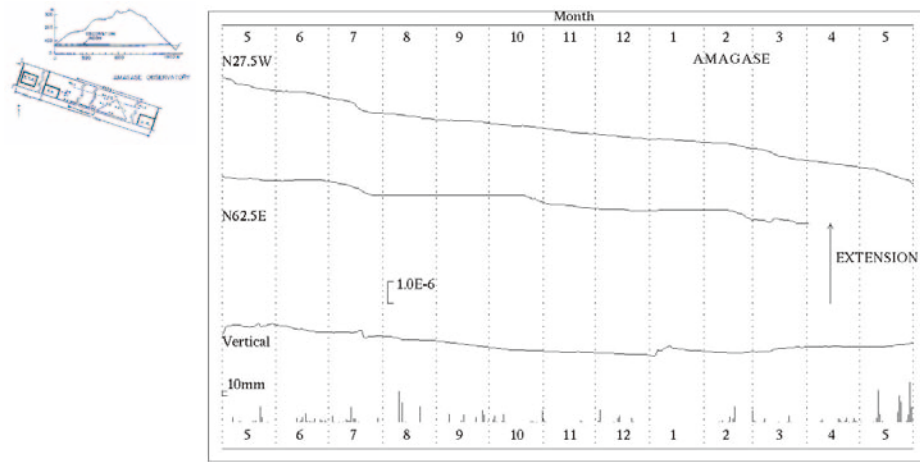
第3図a 阿武山観測所における歪変化と日雨量 (2010年5月～2011年5月)  
 Fig.3a Strain changes and daily precipitation at Abuyama observatory.  
 (May.01,2010 ~ May.31,2011).



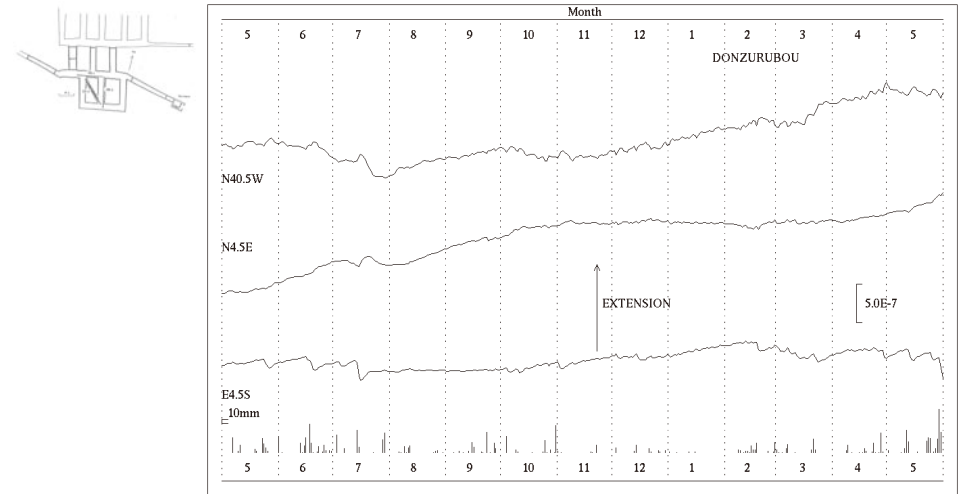
第2図 上宝観測所蔵柱観測室における歪変化と日雨量 (2010年5月～2011年5月)  
 Fig.2 Strain changes and daily precipitation at Kurabashira observatory.  
 (May.01,2010 ~ May.31,2011).



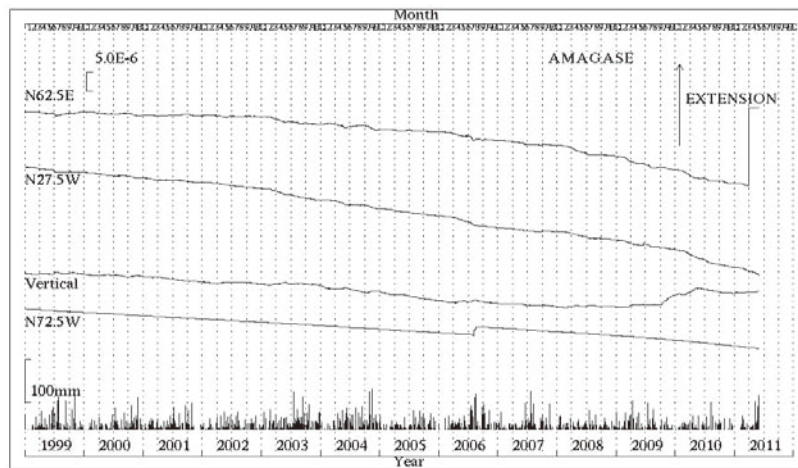
第3図b 阿武山観測所における歪変化と日雨量 (1999年1月～2011年5月)  
 Fig.3b Strain changes and daily precipitation at Abuyama observatory.  
 (Jan. 1,1999 ~ May.31,2011).



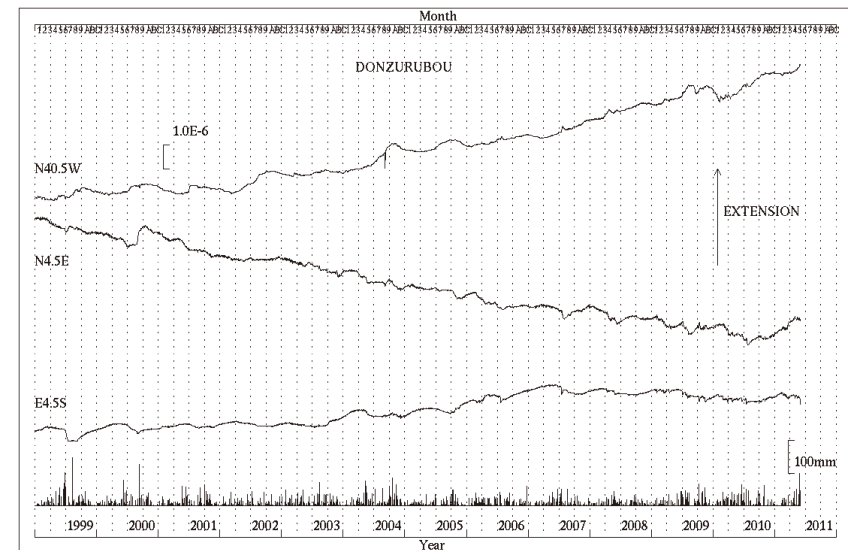
第4図a 天ヶ瀬観測所における歪変化と日雨量（2010年5月～2011年5月）鉛直成分の10月から1月に掛けての変動は計測器の障害によるもの。  
 Fig.4a Strain changes and daily precipitation at Amagase observatory. (May.01,2010 ~ May.31,2011). An apparatus failure caused the anomalous signal change in the vertical component from Oct. to Jan.



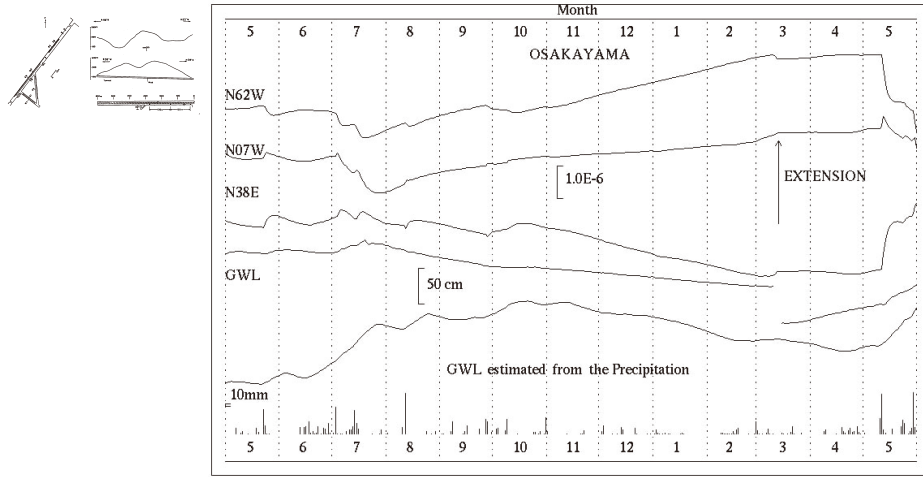
第5図a 屯鶴峯観測所における歪変化と日雨量（2010年5月～2011年5月）  
 Fig.5a Strain changes and daily precipitation at Donzurubou observatory. (May.01,2010 ~ May.31,2011).



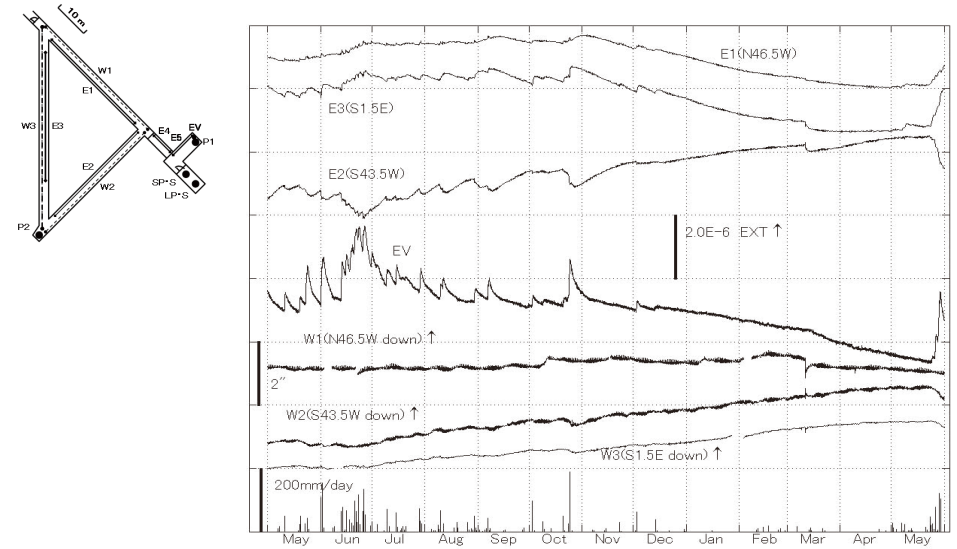
第4図b 天ヶ瀬観測所における歪変化と日雨量（1999年1月～2011年5月）鉛直成分の2009年10月から2010年1月に掛けての変動は計測器の障害によるもの。  
 Fig.4b Strain changes and daily precipitation at Amagase observatory. (Jan. 1,1999 ~ May.31,2011). An apparatus failure caused the anomalous signal change in the vertical component extending from the end of 2009 to 2010.



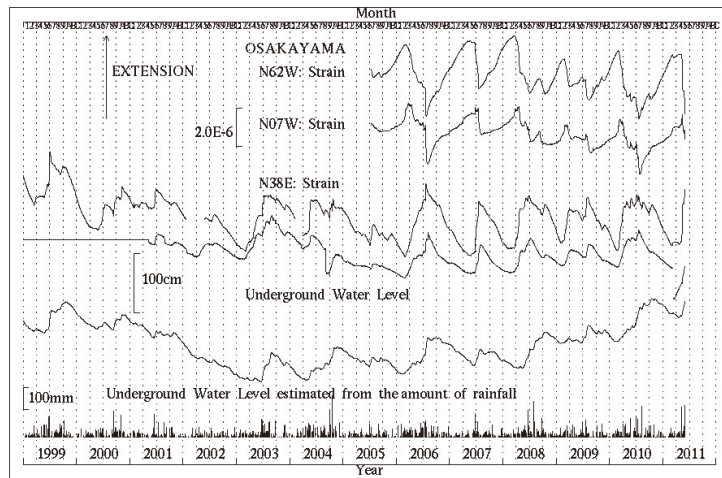
第5図b 屯鶴峯観測所における歪変化と日雨量（1999年1月～2011年5月）  
 Fig.5b Strain changes and daily precipitation at Donzurubou observatory. (Jan. 1,1999 ~ May.31,2011).



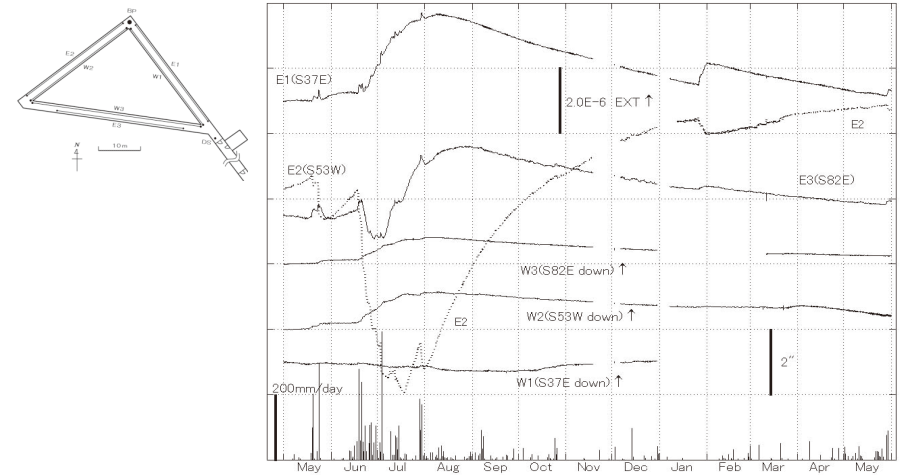
第6図 a 逢坂山観測所における歪変化と日雨量 (2010年5月～2011年5月)  
 Fig.6a Strain change, underground water level and daily precipitation at Osakayama observatory. (May.01,2010 ~ May.31,2011).



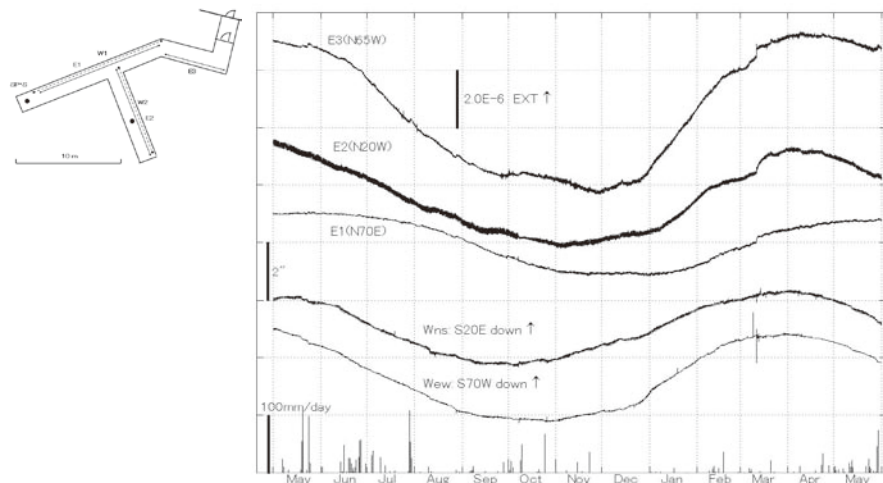
第7図 宮崎観測所における歪・傾斜変化と日雨量 (2010年5月～2011年5月)  
 Fig.7 Strain changes, tilt changes and daily precipitation at Miyazaki observatory. (M a y . 0 1 , 2 0 1 0 ~ M a y . 3 1 , 2 0 1 1).



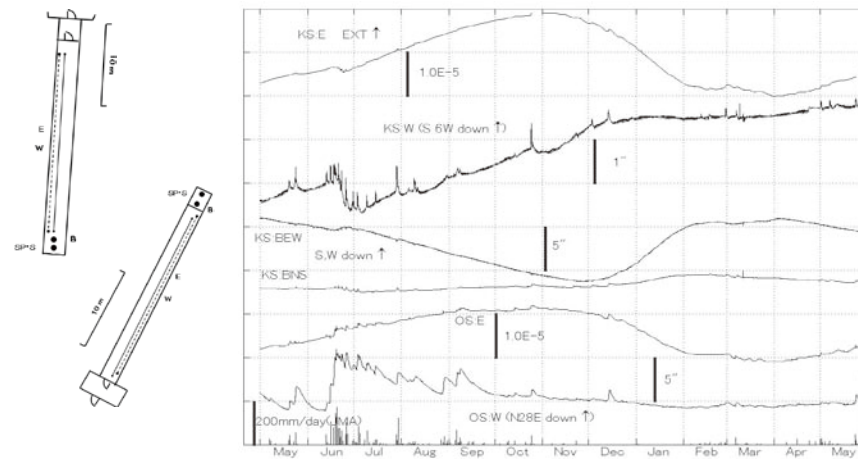
第6図 b 逢坂山観測所における歪変化と日雨量 (1999年1月～2011年5月)  
 Fig.6b Strain change, underground water level, daily precipitation and estimated underground water level from precipitation at Osakayama observatory. (Jan. 1,1999 ~ May.31,2011).



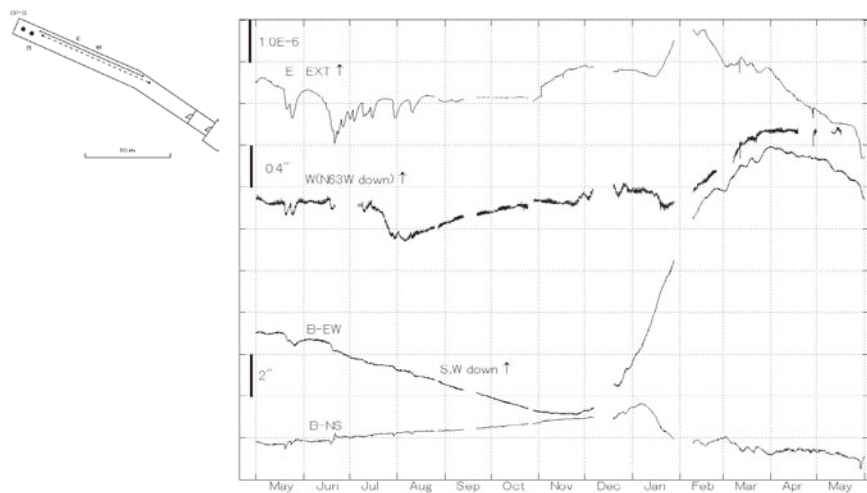
第8図 伊佐観測所における歪・傾斜変化と日雨量 (2010年5月～2011年5月)  
 Fig.8 Strain changes, tilt changes and daily precipitation at Isa station. (M a y . 0 1 , 2 0 1 0 ~ M a y . 3 1 , 2 0 1 1).



第9図 宿毛観測所における歪変化と日雨量 (2010年5月～2011年5月)  
 Fig.9 Strain changes, tilt changes and daily precipitation at Sukumo station.  
 (May. 01, 2010～May. 31, 2011).



第11図 串間・大隈観測所における歪・傾斜変化 (2010年5月～2011年5月)  
 Fig.11 Strain changes and tilt changes at Kushima, and Ohsumi station.  
 Lowest bar graph is daily precipitation at Tashiro, nearest station by JMA.  
 (May. 01, 2010～May. 31, 2011).



第10図 高城観測所における歪変化と傾斜変化 (2010年5月～2011年5月)  
 Fig.10 Strain changes and tilt changes at Takajo station.  
 (May. 01, 2010～May. 31, 2011).